



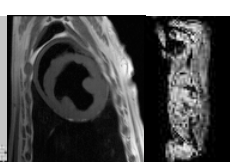
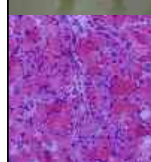
Enva
École nationale vétérinaire d'Alfort



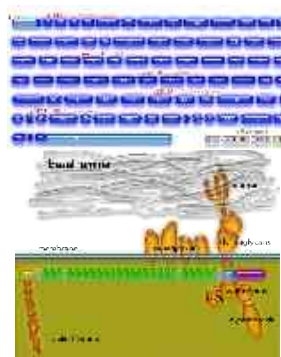
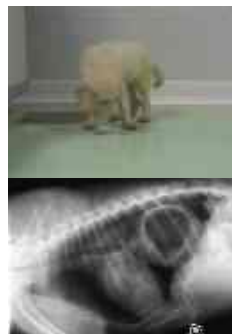
Caractérisation du muscle dystrophique par résonance magnétique nucléaire chez le chien GRMD

Académie Vétérinaire, 21 Avril 2011

Jean-Laurent Thibaud



Le chien GRMD, un modèle de myopathie de Duchenne



La dystrophine

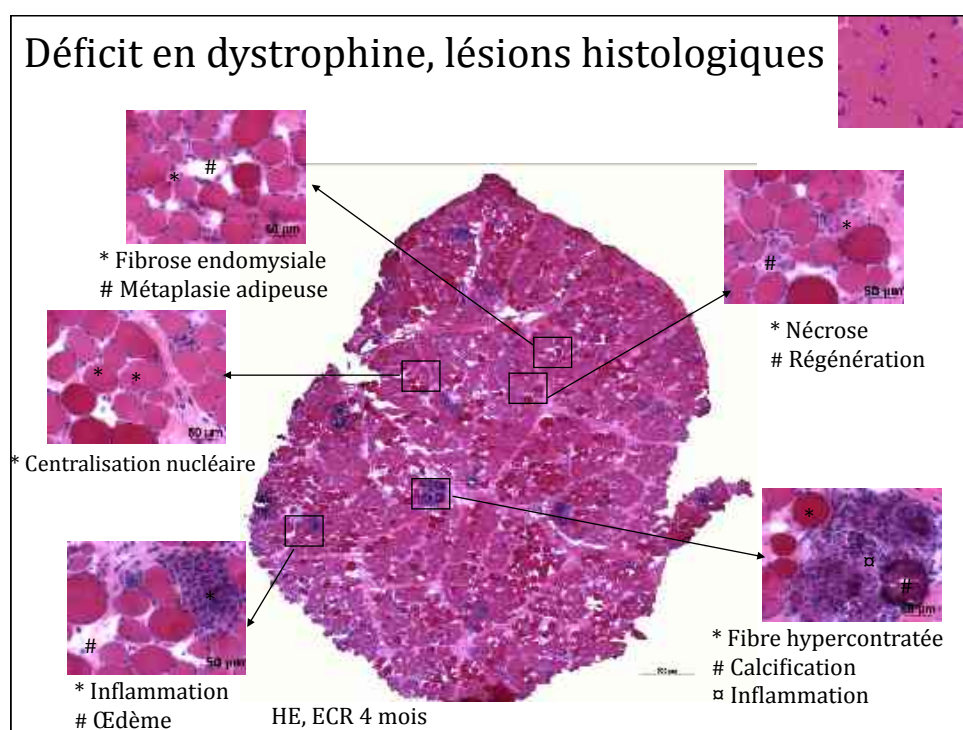
Analogie clinique

Analogie moléculaire

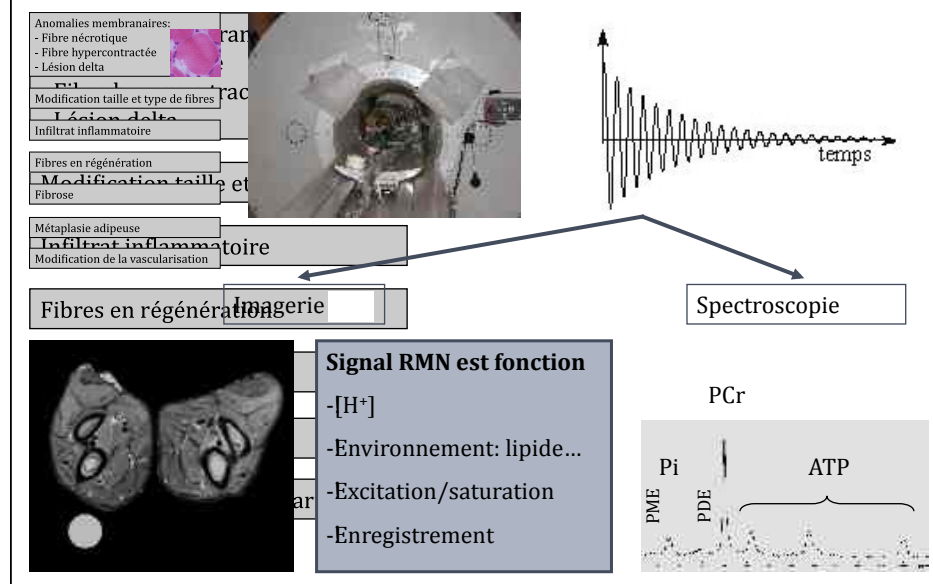


Essais pré-cliniques

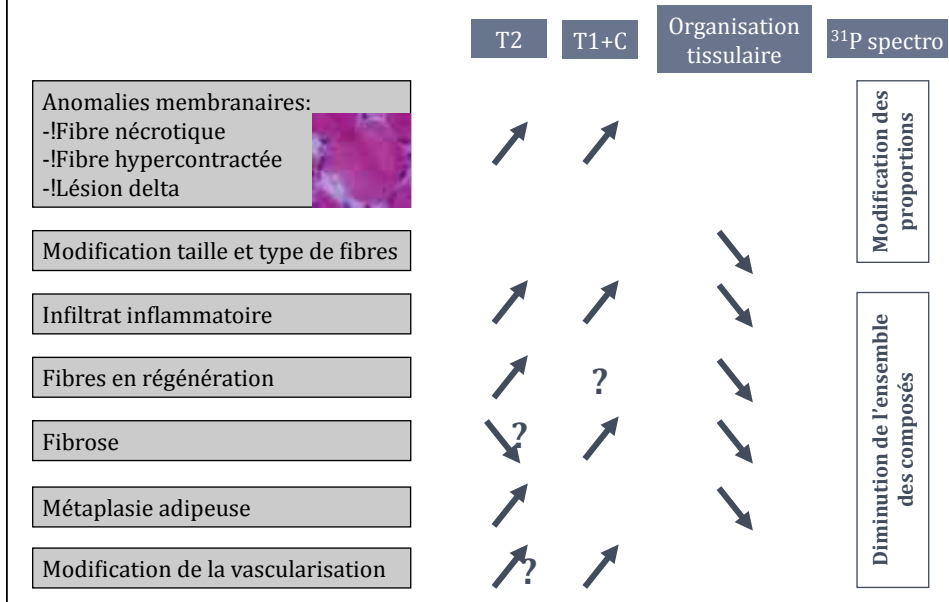
Déficit en dystrophine, lésions histologiques



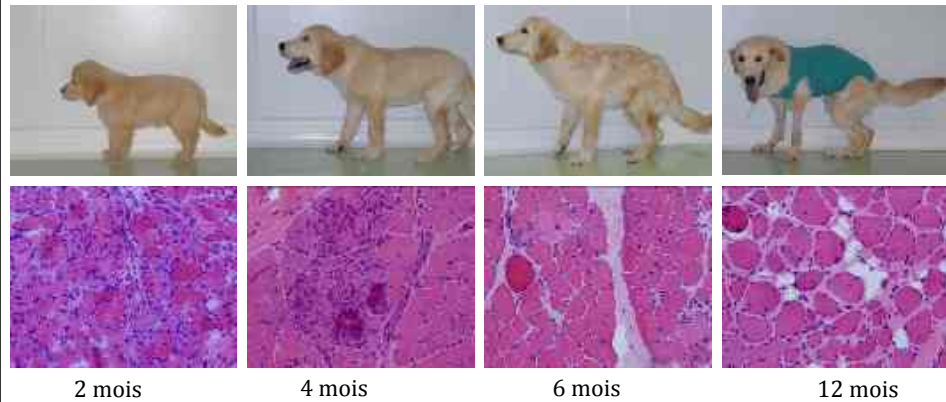
Des lésions histologiques aux modifications du signal RMN



Des lésions histologiques aux modifications du signal RMN



Evolution clinique et histologique



Aggravation clinique et modification de la formule histologique

Hétérogénéité inter-individuelle

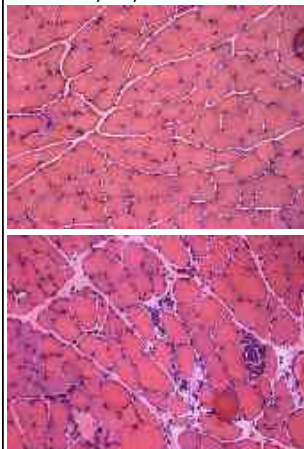


HE, TC 6 months

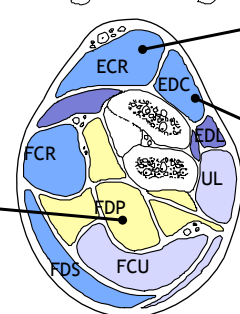
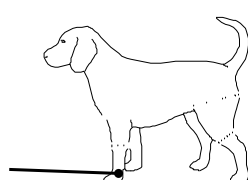


Hétérogénéité inter-musculaire

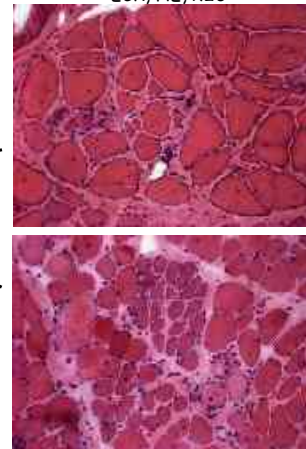
IO, HE, x20



FDP, HE, x20



ECR, HE, x20



EDC, HE, x20

Caractérisation du muscle dystrophique par IRM

Première partie: Evaluation qualitative et définition d'indices

- 6 chiens sains, 6 chiens GRMD, 2 mois
- Antérieurs
- Aimant 4 Teslas Bruker
- Séquences: - T1 et T2 avec et sans saturation de graisse
 - cinétique du signal après injection de gadolinium



Deuxième partie: Histoire naturelle des muscles dystrophiques

- 5 chiens sains, 5 chiens GRMD / 2, 4, 6, 9, (12) mois
- Antérieurs et postérieurs
- Aimant 3 Teslas Siemens, diagnostic clinique
- Séquences: identiques

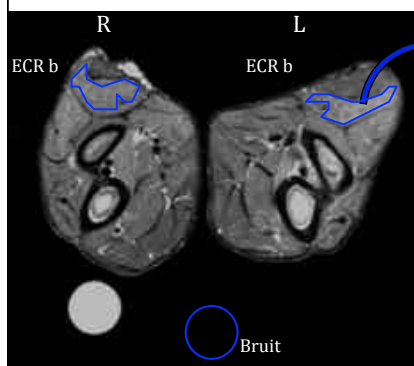


Troisième partie: Essai préclinique

- 3 chiots GRMD, 15 jours, injection IM d'AAV
- Aimant 3 Teslas Siemens
- Séquences: Identiques



Indices quantitatifs



Moyen Signal
Ecart type

Calcul des indices

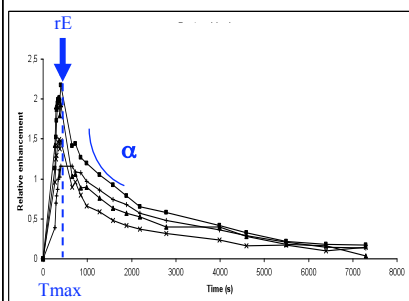
Analyse de variance
- status
- chien, côté, muscle, âge

Chien dystrophique, membres antérieurs
Coupe axiale pondérée T2 avec saturation
de graisse



Indices quantitatifs

Chien dystrophique, 2 mois



Evolution du signal normalisé après injection de chélate de gadolinium

- !Réhaussement maximal relatif: rE
- !Temps du pic: Tmax
- !Constante de décroissance: α



Indices quantitatifs

$$\text{! Rapport de signal T2/T1, SR} = \frac{\text{T2w Signal} \times \text{T1w ampli. récept}}{\text{T1w Signal} \times \text{T2w ampli. récept}}$$

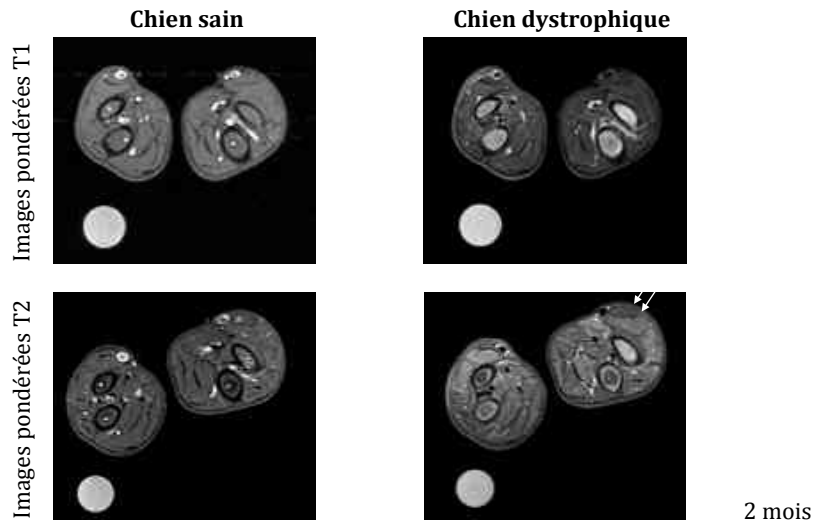
$$\text{! T1 hétérogénéité, H1} = \sqrt{\frac{(\text{SD}^2\text{T1w} - \frac{\text{SD}^2\text{bruit}}{0.655})}{\text{T1w Signal}}}$$

$$\text{! Contribution de la graisse, rFS} = \frac{(\text{T1w signal} - \text{fsT1w signal})}{\text{T1w signal}}$$



Caractérisation du muscle dystrophique par IRM

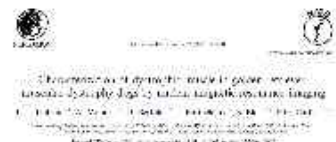
Une évaluation ciblée des muscles dystrophiques



Caractérisation du muscle dystrophique par IRM

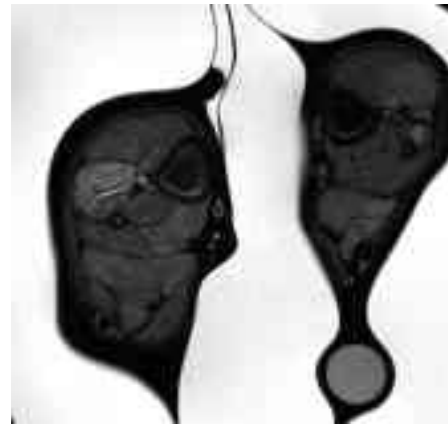
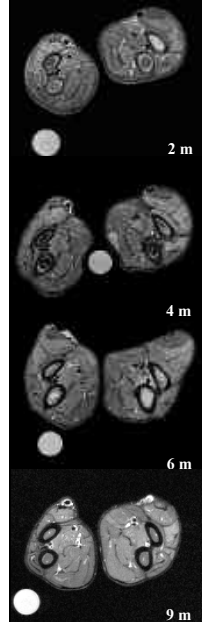
Une évaluation quantitative ciblée du muscle dystrophique

	T2w/ T1w SR	H1	H2	rFS	rE	Tmax (s)	α (s^{-1})
Sain	0.49 ± 0.06	110319 ± 24113	32380 ± 6542	0.10 ± 0.02	0.740 ± 0.197	166 ± 122	0.0014 ± 0.0011
GRMD	0.74 ± 0.13	90438 ± 33528	52006 ± 20045	0.12 ± 0.05	1.63 ± 0.45	162 ± 147	0.0011 ± 0.0008
P	0.0002	0.139	0.018	0.369	0.00004	0.957	0.301

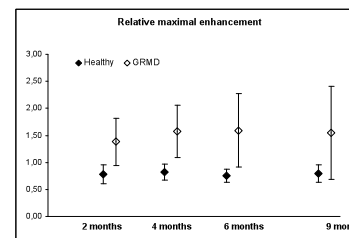
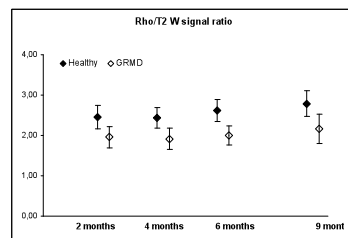
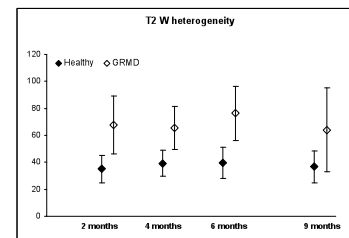
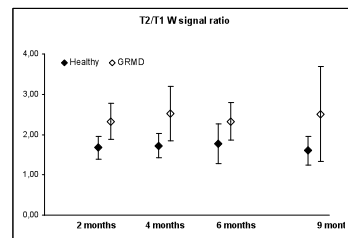
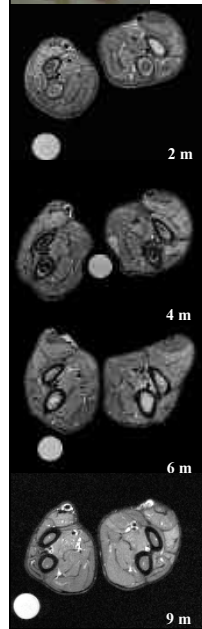




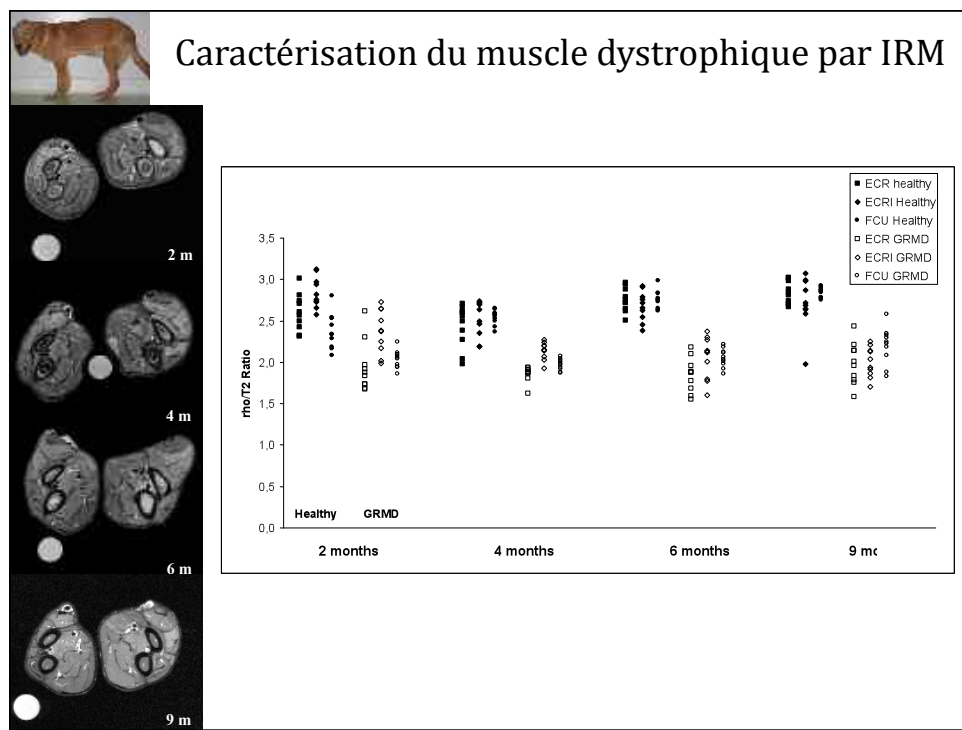
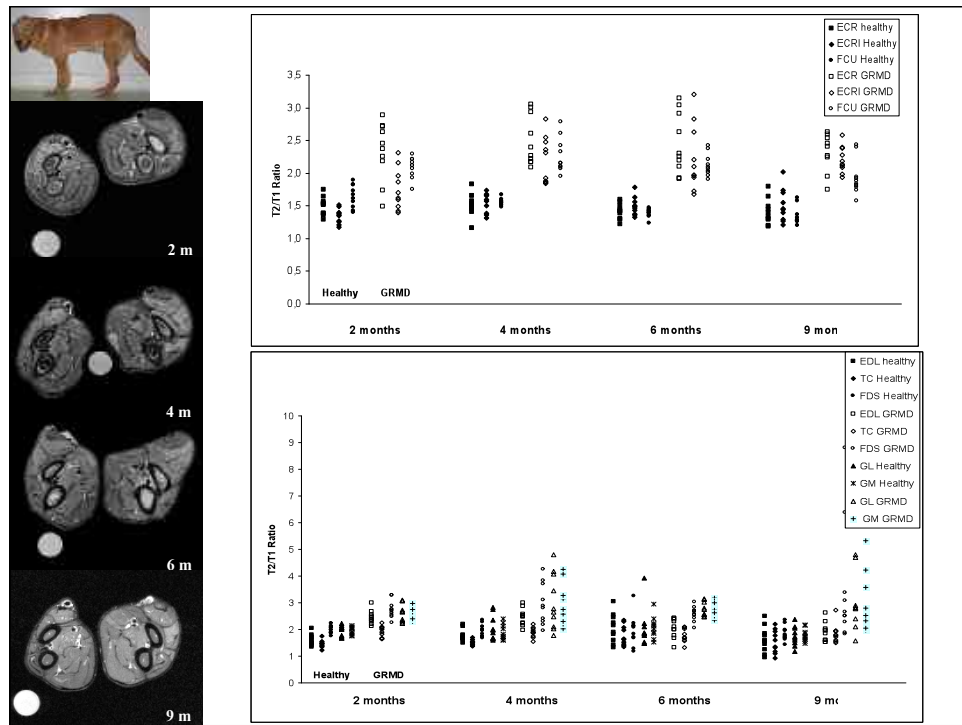
Caractérisation du muscle dystrophique par IRM



Caractérisation du muscle dystrophique par IRM

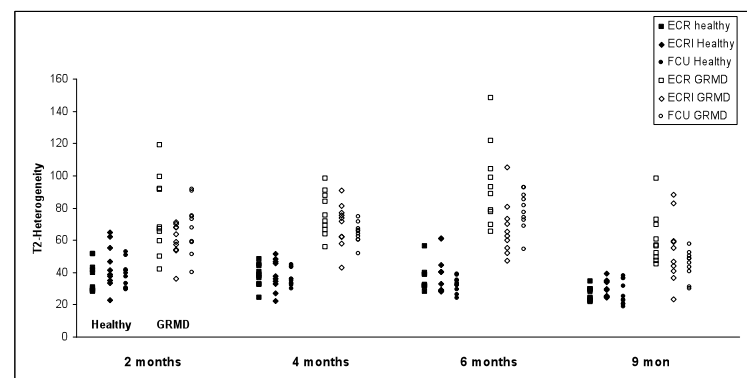
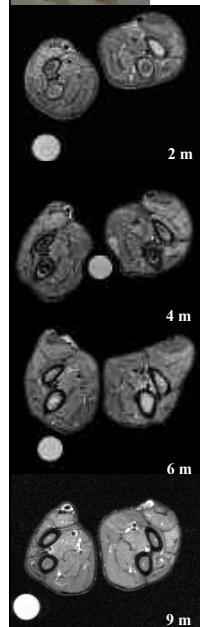


T2/T1 SR, H2, rE toujours discriminants
Rho/T2 un nouvel indice discriminant

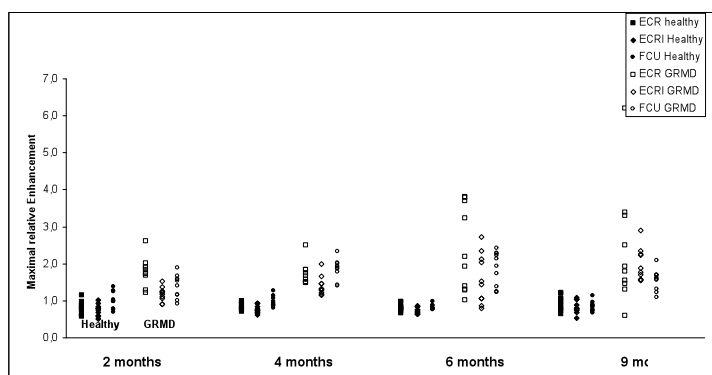
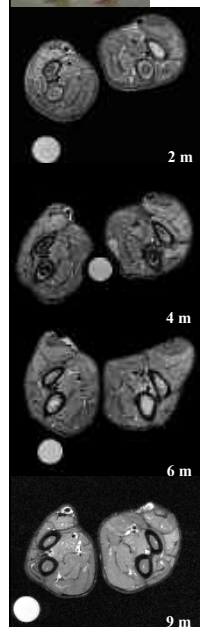




Caractérisation du muscle dystrophique par IRM



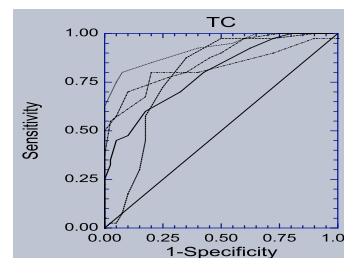
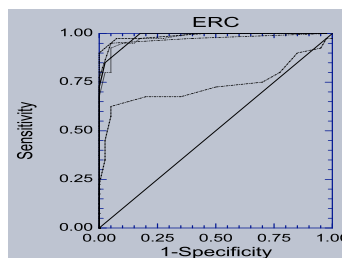
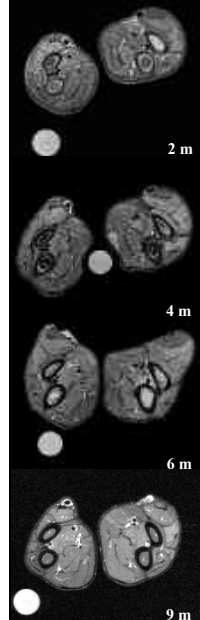
Caractérisation du muscle dystrophique par IRM





Caractérisation du muscle dystrophique par IRM

Détermination des muscles et indices optimaux

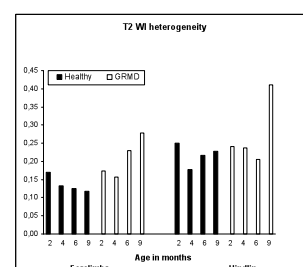
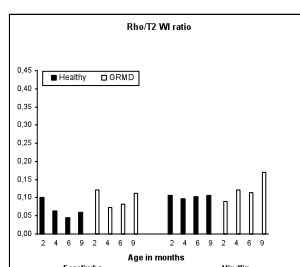
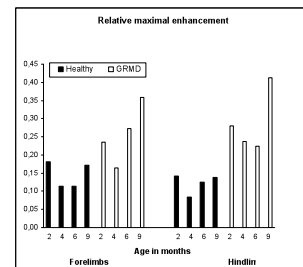
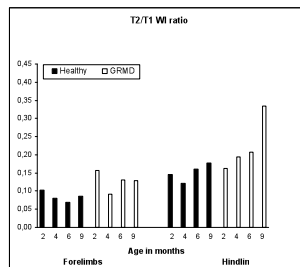
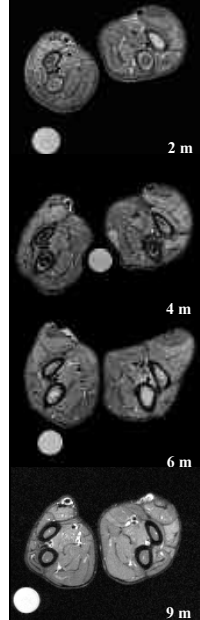


	ECR	ECRI	FCU	FDS	GasL	GasM	EDL	TC	Mean	SD
H2	0,98	0,90	0,95	0,97	0,96	0,92	0,93	0,79	0,92	0,06
T2/T1w SR	0,99	0,94	0,98	0,90	0,90	0,93	0,78	0,79	0,90	0,08
Rho/T2w SR	0,98	0,93	0,97	0,91	0,89	0,94	0,90	0,92	0,93	0,03
T1	0,73	0,73	0,72	0,89	0,87	0,89	0,89	0,87	0,82	0,08
rE	0,97	0,97	0,96	0,91	0,95	0,97	0,90	0,82	0,93	0,05
Mean	0,93	0,89	0,92	0,91	0,91	0,93	0,88	0,84		
SD	0,11	0,09	0,11	0,03	0,04	0,03	0,06	0,06		



Caractérisation du muscle dystrophique par IRM

Hétérogénéité intermusculaire



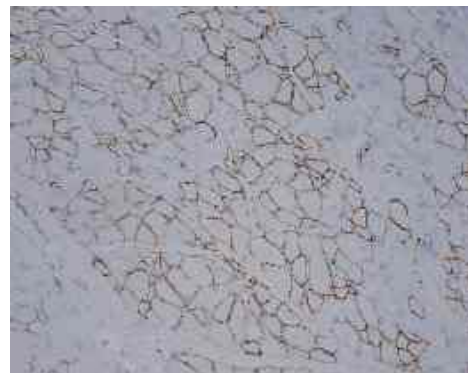


Avec l'équipe de
Luis Garcia
Institut de myologie

Evaluation thérapeutique

Injections intra-musculaires multiples d'AAV pour saut d'exons

Barthelemy et al., Neuromuscul. Disord., 2007



Tibial cranial, dys 2, peroxydase, 4 mois post-injection

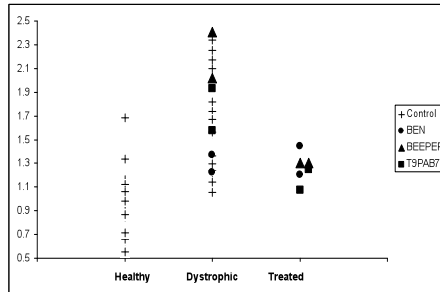
Restauration de l'expression de la dystrophine dans 70 à 90% des fibres



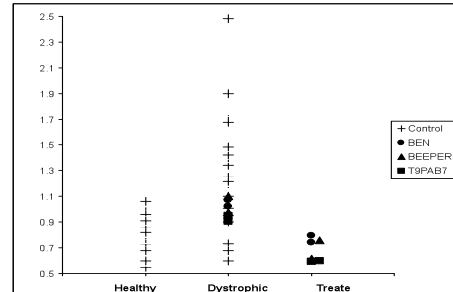
Evaluation thérapeutique

Injections intra-musculaires multiples d'AAV pour saut d'exons

Barthelemy et al., Neuromuscul. Disord., 2007



Hétérogénéité T2



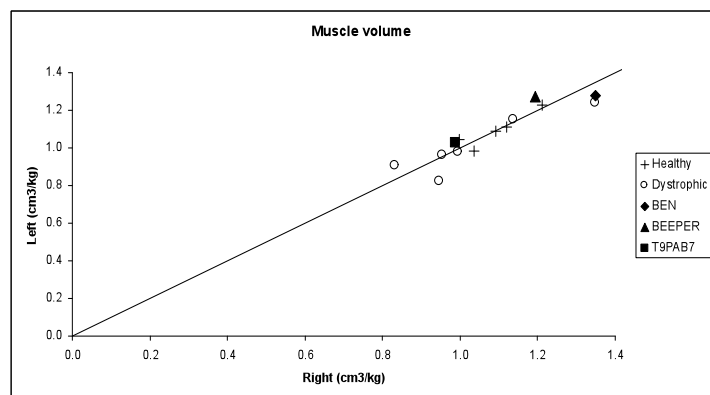
Réhaussement relatif maximal



Evaluation thérapeutique

Injections intra-musculaires multiples d'AAV pour saut d'exons

Barthelemy et al., Neuromuscul. Disord., 2007



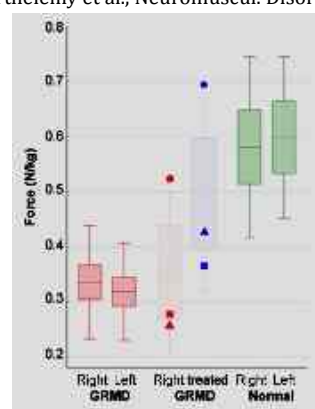
Evaluation du volume musculaire



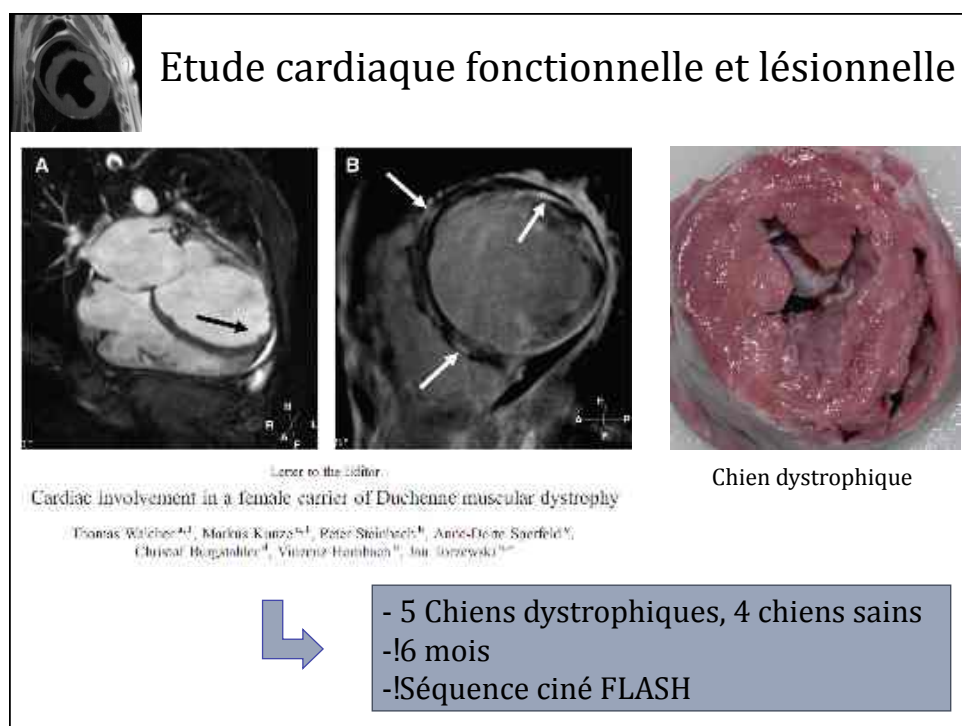
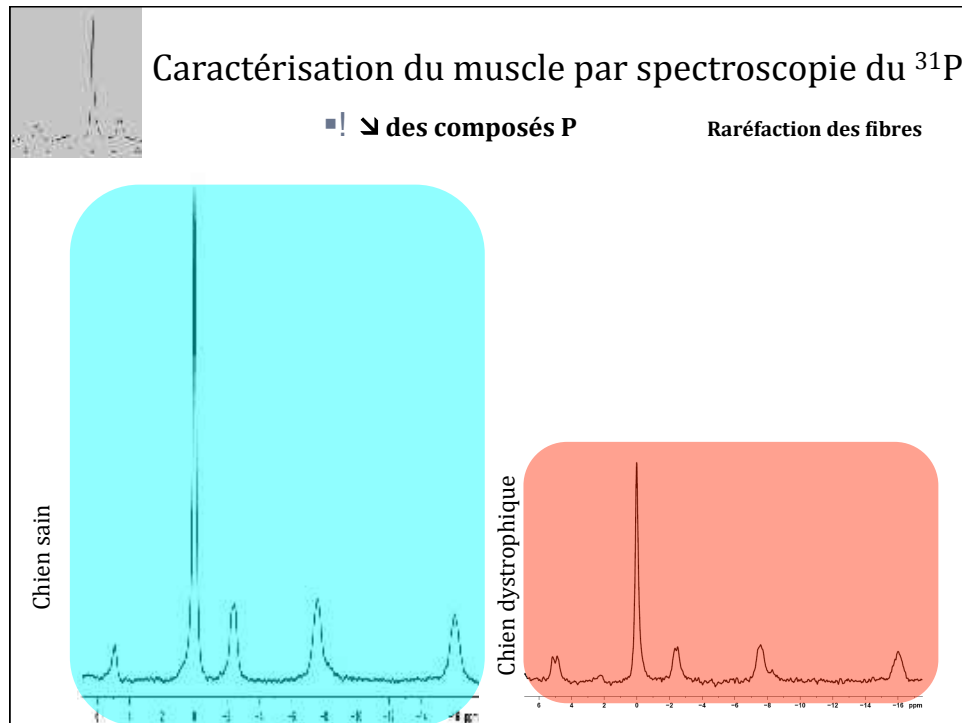
Evaluation thérapeutique

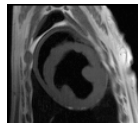
Injections intra-musculaires multiples d'AAV pour saut d'exons

Barthelemy et al., Neuromuscul. Disord., 2007

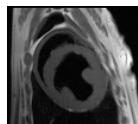
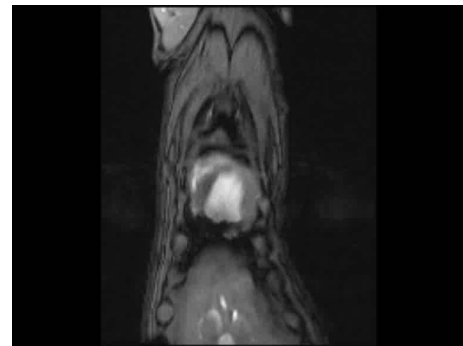
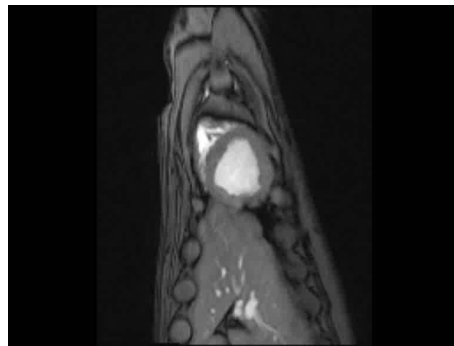


Amélioration concomittante de la force musculaire évaluée par contraction tétanique

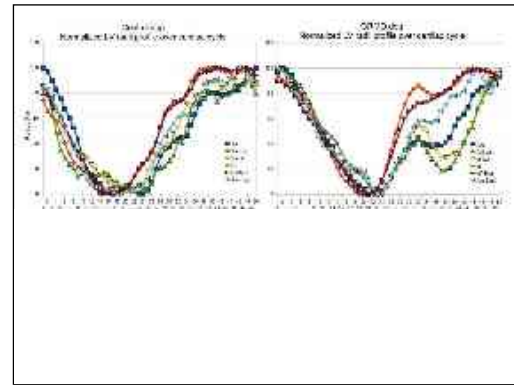
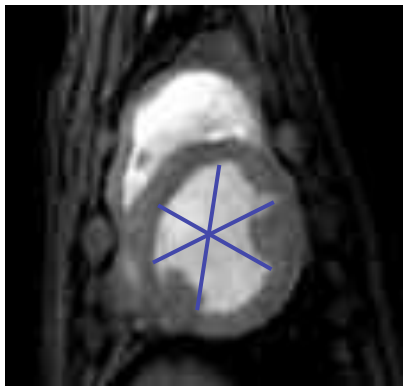




Etude cardiaque fonctionnelle et lésionnelle

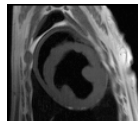


Etude cardiaque fonctionnelle et lésionnelle

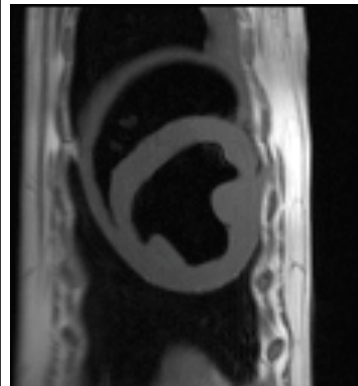


Coupe transventriculaire petit axe
Chien dystrophique

Désynchronisation du muscle cardiaque en particulier en diastole



Etude cardiaque fonctionnelle et lésionnelle



Suivi du signal après injection d'un chélate de gadolinium



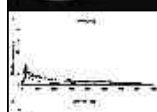
Zone de réhaussement

Nécrose

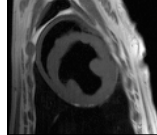
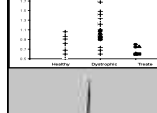
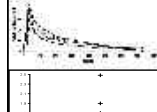
Fibrose

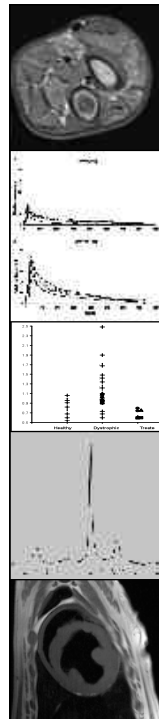


Conclusion et perspectives



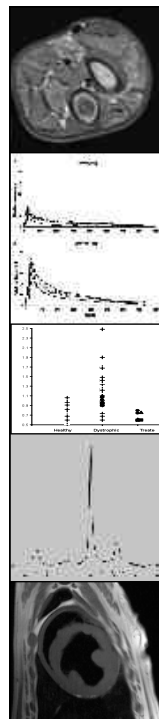
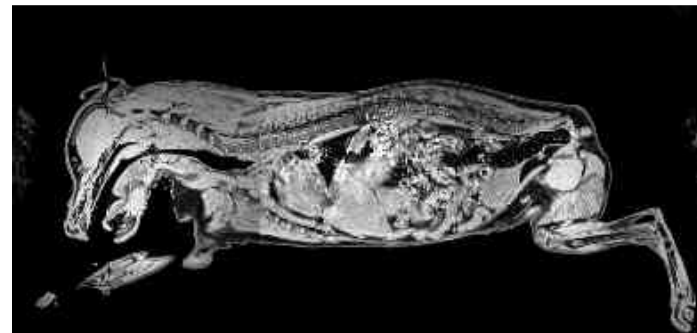
- Evaluation quantitative du muscle dystrophique
 - Avant traitement: **sélection**
 - Après traitement: **effets positifs/délétères**
- Evaluation **adaptée** à l'âge du chien et au muscle choisi
- Evaluation **atraumatique** autorisant un **suivi long et multimodal**
- Evaluation **structurale et fonctionnelle** du **muscle strié squelettique et cardiaque**
- Evaluation transposable aux patients humains





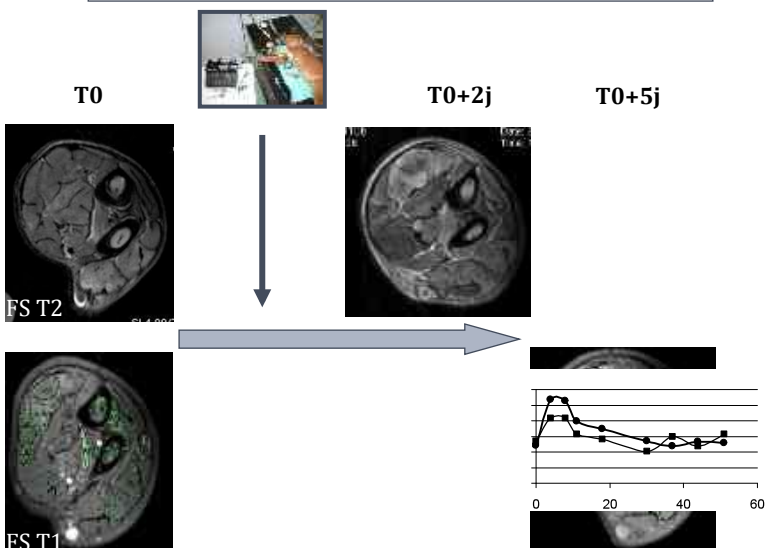
Conclusion et perspectives

Imagerie corps entier quantitative



Conclusion et perspectives

Biodistribution d'agent thérapeutique





EnVA

École nationale vétérinaire d'Alfort



Remerciements

■ENVA

Stéphane Blot
Inès Barthélémy
Ane Uriarte
Matthias Lechevoir
Nicolas Blanchard
Yves Unterfinger
Isabelle Valchera
Xavier Cauchois
Aurore Brindejont
Angélique Gouffier

■Laboratoire RMN

Pierre Carlier
Claire Wary
Servanne Fleury
Laurie Cabrol
Aurélien Monnet
Olivier Nempong
Celine Baligand
Jacques Ménard
Sandrine Duteil

■Institut de myologie

Luis Garcia (exon skipping)
Adeline Vulin
Aurélie Goyenvalle